岩藻聚糖硫酸酯 FV 对大鼠的抗凝血作用及机制研究

闫 晨¹, 邸志权², 朱振娜², 霍 璇², 安梦培², 冯贻东³, 申秀萍², 胡金芳^{2*}

- 1. 天津医科大学总医院 药剂科, 天津 300052
- 2. 天津药物研究院新药评价有限公司, 天津 300301
- 3. 深圳市海王生物工程股份有限公司, 广东 深圳 518057

摘 要:目的 探讨岩藻聚糖硫酸酯 FV 对大鼠的抗凝血作用及其机制。方法 以 20、10、5、2.5、1.25、0.63 mg/kg 尾 iv 给予 Wistar 大鼠,给药 15 min 后,采血测定大鼠凝血功能—凝血酶原时间(PT)、凝血酶时间(TT)、纤维蛋白原(Fib)、活化部分凝血活酶时间(APTT),确定量效关系;以 5 mg/kg 尾 iv 给予 Wistar 大鼠,给药 0、7.5、15、30 min 以及 1、2、4、6、12、24 h 后采血测定大鼠凝血功能,确定时效关系,并测定 5、2.5、1.25 mg/kg 剂量下 FV 的生物活性半衰期;以发色底物法检测在抗凝血酶 III(AT-III)或肝素辅因子 II(HC-II)存在下,FV 对凝血酶(IIa)、活化的凝血因子 X(Xa)、活化的凝血因子 IX(IXa)等的作用。结果 FV 0.63 mg/kg 能显著延长 APTT 和 TT,剂量高于 10 mg/kg 时 PT 显著延长,Fib 显著降低,具有明显的剂量相关性。FV 5 mg/kg 能够在 4 h 内显著延长 APTT 和 TT,药后 60 min 内显著延长 PT,具有明显的时间相关性。FV 5、2.5、1.25 mg/kg 的抗凝效应均以一级动力学的方式消除,药效衰减速率常数(K)分别为 0.013、0.019、0.048 min⁻¹,抗凝效应半衰期($t_{1/2}$)分别为 53.3、36.5、14.4 min。FV 对 IIa、Xa、IXa 无明显抑制作用;对 Xa 内源性激活复合物的形成具有明显抑制作用,IC50 为 7.8 μg/mL,且不依赖于 AT-III 和 HC-II;依赖于 AT-III,FV 对 Xa 外源性激活复合物的形成具有抑制作用,IC50 为 11.6 μg/mL。结论 FV 以 Xa 内源性激活复合物为主要作用靶点,显著抑制该复合物的激活,发挥良好的抗凝活性,量效、时效关系明确。

关键词: 岩藻聚糖硫酸酯 FV; 抗凝; 量效; 时效; 凝血因子; 作用靶点

中图分类号: R285.5 文献标志码: A 文章编号: 1674 - 5515(2019)09 - 2587 - 06

DOI: 10.7501/j.issn.1674-5515.2019.09.003

Anticoagulant effect of fucus vesiculosus FV on rats and its mechanism

YAN Chen¹, DI Zhi-quan², ZHU Zhen-na², HUO Xuan², AN Meng-pei², FENG Yi-dong³, SHEN Xiu-ping², HU Jin-fang²

- 1. Department of Pharmacy, Tianjin Medical University General Hospital, Tianjin 300052, China
- 2. Tianjin Institute of Pharmaceutical Research New Drug Assessment Co. Ltd, Tianjin 300301, China
- 3. Shenzhen Haiwang Bioengineering Co., Ltd, Shenzhen 518057, China

Abstract: Objective To explore the anticoagulant effect of fucus vesiculosus FV on rats and its mechanism. Methods The Wistar rats were injected intravenously with 20, 10, 5, 2.5, 1.25, and 0.63 mg/kg. After 15 min, the blood was collected to determine the dose-effect relationship between PT, TT, Fib, and APTT. The Wistar rats were injected intravenously with 5 mg/kg. The blood coagulation function was determined after 0, 7.5, 15, 30 min, 1, 2, 4, 6,12, and 24 h, for determining the time-effect relationship. The half-life time of biological activity of FV was measured at doses of 5, 2.5, and 1.25 mg/kg. The activity of coagulation factors was detected by chromogenic substrate method, such as IIa, Xa, IXa, and so on, in the presence of Heparin Cofactor II (HC-II) or Antithrombin III (AT-Thrombin III). Results APTT and TT were significantly prolonged by FV at 0.63 mg/kg. PT was significantly prolonged when the dose was higher than 10 mg/kg, and Fib was significantly decreased. And the changes of these parameters had obvious dose-dependent. FV 5 mg/kg could significantly prolong APTT and TT within 4 h and PT within 60 min, which was time-dependent. The anticoagulant effects of FV 5, 2.5, and 1.25 mg/kg were eliminated by first-order kinetics. The pharmacodynamic

收稿日期: 2019-05-06

基金项目: 国家科技重大新药创制项目(2015ZX09501004); 天津市科技计划项目(17ZXXYSY00020)

作者简介: 闫 晨,主管药师,硕士,从事药品调剂、药物分析、医院制剂等工作。E-mail: yanchen2@sina.com

^{*}通信作者 胡金芳,研究员,从事药理学、毒理学研究。E-mai: hujf@tjipr.com

attenuation rate constants (K) were 0.013, 0.019, and 0.048 min⁻¹, and the half-life times of anticoagulant effects were 53.3, 36.5, and 14.4 min, respectively. FV had no obvious inhibitory effect on thrombin (IIa), activated factor X (Xa), and activated factor IX (IXa), and had obvious inhibitory effect on the formation of endogenous activation complex of Xa with IC₅₀ = 7.8 μ g/mL, independently of AT-III and HC-II. Depending on AT-III, FV had inhibitory effect on the formation of exogenous activation complex of Xa with IC₅₀ = 11.6 μ g/mL. **Conclusion** FV takes the endogenous activation complex of Xa as the main target, inhibits the activation of the complex significantly, exerts good anticoagulant activity, and has a clear dose-effect and time-effect relationship.

Key words: fucus vesiculosus FV; anticoagulant; dose-effect; time-effect; coagulation factor; target

岩藻聚糖硫酸酯是一种相对分子质量较高的水溶性杂多糖,主要存在于海带等褐藻中,众多研究表明其具有很多很好的生理活性,如抗凝血、抗血栓、抗肿瘤、抗人类免疫缺陷病毒(HIV)、提高免疫力和降血脂等,且对其活性的影响主要是由于相对分子质量和硫酸根的含量及位置。岩藻聚糖硫酸酯目前已经成为当今海洋药物研发的主攻热点之一^[1]。

抗凝血活性是岩藻聚糖硫酸酯众多药理活性中研究较为全面的,自 1957 年 Springer 等^[2]首次报道其抗凝血功效后,经多位学者陆续研究发现,影响其发挥抗凝活性的主要因素为相对分子质量、硫酸根含量和位置^[3]。基于前人的研究发现以及本课题组前期的研究成果^[4],通过一定的降解方法,得到了一种低相对分子质量的岩藻聚糖硫酸酯,其平均相对分子质量为 11 000~15 000,易溶于水,并给予其代号 FV,拟将其开发成治疗周围静脉血栓药,现对其药理活性及作用机制进行报道。

1 试验材料

1.1 试验动物

SPF级 Wistar 大鼠,雄性,体质量 $180\sim200~\rm g$,购自北京维通利华实验动物技术有限公司,许可证号 SCXK(京)2012-0001。饲养于天津药物研究院新 药评价有限公司动物实验楼(屏障环境,AAALAC 认证)。温度 $20\sim26~\rm C$,相对湿度 $40\%\sim70\%$,不少于 $15~\rm C$ 加全新风,昼夜明暗交替时间为 $12~\rm h/12~\rm h$ 。

1.2 药物与试剂

FV,产品批号 20120301,由深圳海王药业有限公司提供,平均相对分子质量为 11 000~15 000,类白色粉末,易溶于水,难溶于乙醇等有机溶剂;低分子量肝素钙注射液(LMWHC),产品批号12105049,规格 0.4 mL:4 100 AxaIU,由葛兰素史克提供。BIOPHEN FVII kit,产品批号 33501-PK:3;BIOPHEN CS 11(65),产品批号 24803-1-PK:8;BIOPHEN CS 01(38),产品批号 30401-1-PK:4;

BIOPHEN (h)Factor IXa,产品批号 111024D-PK:1; BIOPHEN Anti-Thrombin III(AT-III),产品批号 130214G-PK:1; BIOPHEN Heparin Cofactor II(HC-II),产品批号 130626E-PK:1; BIOPHEN CS 51(09),产品批号 14701-1-PK:1; BIOPHEN Factor IXa kit,产品批号 22101-PK:8; HUMAN Factor Xa,产品批号 130402B-PK:1; Human Thrombin,产品批号 130920D-PK:2,均来自 HYOHEN BioMed; PT、APTT、TT、Fib 测定试剂均来自 ACL9000 型全自动血凝仪配套试剂包。

1.3 主要仪器

ACL9000 型全自动血凝仪由美国实验室仪器公司提供; DELTA 320型 PH 计由梅特勒托利多仪器(上海)有限公司提供; Varioskan Flash 酶标仪由 Thermo Scientific 提供; SHHW21型三用电热恒温水箱由天津市泰斯特仪器有限公司提供。

2 方法

2.1 对大鼠凝血功能影响的量效关系

前期预试验对 FV 的剂量及作用时间做了探索,最终将 FV 的剂量设定为 20、10、5、2.5、1.25、0.63 mg/kg, LMWHC 的临床日使用量为 38 IU/kg,人按 60 kg 计,大鼠按 200 g 计,按体表面积折算大鼠的临床等效剂量为 213 IU/kg,依此对其设定剂量进行本研究。

将 Wistar 大鼠随机分为对照组、FV 20、10、5、2.5、1.25、0.63 mg/kg 组和 LMWHC 426、213、107、54、27、13.5 IU/kg 组,每组 10 只。对照组给予生理盐水,尾静脉注射给药,给药体积为 5 mL/kg。给药15 min 后腹主动脉采血枸橼酸钠抗凝,3 000 r/min,离心10 min,取上层血浆,全自动血凝仪测定凝血功能四项——凝血酶原时间(PT)、活化部分凝血酶时间(APTT)、凝血酶时间(TT)、纤维蛋白原(Fib)。

2.2 对大鼠凝血功能影响的时效关系

选用 Wistar 大鼠,分为对照组、FV 各时间点组、LWMHC 各时间点组,每组 10 只。LMWHC 剂量为 54 IU/kg、FV 剂量为 5 mg/kg,对照组给予

2.3 对凝血因子活性的影响

抑制率= $(A_{\text{KH}} - A_{\text{Se}}) / (A_{\text{KKE}} - A_{\text{Se}})$

2.4 抗凝活性生物半衰期测定[5-6]

选用 Wistar 大鼠,分为对照组及 FV 5、2.5、1.25 mg/kg 各时间点组,每组雌雄各 4 只。对照组

给予生理盐水,尾 iv 给药,给药体积均为 5 mL/kg。大鼠在给药 0(对照组)、2、5、15、30 min 及 1、2、4、6、12、24 h 后腹主动脉采血,测定 APTT,计算 APTT 的延长率(APTT%),以 lg(APTT%)为纵坐标,时间为横坐标作图,最小二乘法拟合直线,求其直线方程和相关系数 (r),按 Gibaldi 描述的方法确定抗凝作用的消失属零级还是一级动力学,并计算其抗凝活性速率常数 (K)、生物半衰期 $(t_{1/2})$ 。

2.5 统计方法

计量资料均以 $\overline{x}\pm s$ 表示,应用 SPSS 20.0 统计软件分析。先进行方差齐性检验,方差齐时以单因素方差分析进行整体比较,两两比较采用 t 检验;方差不齐采用非参数检验进行整体比较,两两比较采用 Kruskal-Wallis 检验。

3 结果

3.1 对大鼠凝血功能影响的量效关系

FV 0.63 mg/kg 能显著延长 APTT 和 TT, 剂量高于 10 mg/kg 时 PT 显著延长, Fib 显著降低, 具有明显的剂量相关性, FV 剂量低于 10 mg/kg 时 PT 仅有延长趋势, 认为无临床意义; FV 在剂量范围内均显著延长 APTT、TT, TT 在 FV 1.25~20 mg/kg 剂量范围内 TT 均超出检测上限, FV 0.63 mg/kg 组仍有 50%的样本超出检测限, 因此结果不做体现, FV 20 mg/kg 显著降低 Fib 的含量, 见表 1。

表 1 FV 对大鼠凝血功能影响的量效关系 ($\bar{x} \pm s$, n = 10)

Table 1 Dose-effect relationship of FV on coagulation function in rats ($\bar{x} \pm s, n = 10$)

Table 1 Dose-effect relationship of F v on coagulation function in rats ($x \pm s, n = 10$)								
组别	剂量	PT/s	APTT/s	TT/s	Fib/(g L ⁻¹)			
对照	0	20.3 ± 1.5	22.2±1.3	40.9 ± 2.4	1.80 ± 0.20			
FV	20 mg kg ⁻¹	$32.3\pm4.5^{**}$	_	_	$1.43 \pm 0.14^{**}$			
	10 mg kg ⁻¹	$23.2 \pm 2.3^{**}$	_	_	1.64 ± 0.15			
	5 mg kg ⁻¹	$22.0 \pm 1.6^*$	$85.8 \pm 16.0^{**}$	_	1.81 ± 0.20			
	2.5 mg kg ⁻¹	20.3 ± 1.3	$73.7 \pm 9.2^{**}$	_	$1.64 \pm 0.12^*$			
	1.25 mg kg ⁻¹	20.6 ± 1.0	$53.2 \pm 5.2^{**}$	_	1.70 ± 0.14			
	0.63 mg kg ⁻¹	20.6 ± 1.0	$37.0\pm3.5^{**}$	$50.6 \pm 2.7^{**}$	1.78 ± 0.17			
LMWHC	426 IU kg ⁻¹	$27.2 \pm 2.1^{**}$	_	_	$1.49\pm0.08^{**}$			
	213 IU kg ⁻¹	$26.2\pm2.1^{**}$	$88.3 \pm 2.7^{**}$	_	$1.46\pm0.21^{**}$			
	106.5 IU kg ⁻¹	$23.7 \pm 1.9^{**}$	$54.4 \pm 12.1^{**}$	_	1.71 ± 0.23			
	53.3 IU kg ⁻¹	21.5 ± 1.6	$32.3 \pm 5.6^{**}$	_	1.82 ± 0.21			
	26.6 IU kg ⁻¹	21.3 ± 1.2	$27.8 \pm 4.0^{**}$	_	1.76 ± 0.13			
	13.3 IU kg ⁻¹	21.4 ± 1.7	24.4 ± 2.1	46.3 ± 6.5	1.78 ± 0.17			

与对照组比较: *P<0.05 **P<0.01; 一: 超出仪器的测定上限

^{*}P < 0.05 **P < 0.01 vs control group; —: exceeded the upper limit of the instrument

3.2 对大鼠凝血功能影响的时效关系

FV 5 mg/kg 显著影响凝血功能,延长 APTT 持续 2 h (4 h 后认为无明显的临床意义); FV、LMWHC 对 PT 的影响差异比较明显,FV 在 60 min 内显著延

长 PT,LMWHC 对 PT 的影响无显著临床意义; FV 对 TT 的影响亦持续时间较长,4 h 后才可恢复至正常,LMWHC 对 APTT 和 TT 的影响均在 1 h 内恢复至正常生理水平,具有明显的时间相关性。见表 2。

表 2 FV 对大鼠凝血功能影响的时效关系($\overline{x} \pm s$, n = 10)
Table 2 Time-effect relationship of FV on coagulation function in rats ($\overline{x} \pm s$, n = 10)

组别	时间	PT/s	APTT/s	TT/s	$Fib/(g L^{-1})$
对照	0 min	13.8±0.4	20.3 ± 1.5	42.6±2.5	1.85 ± 0.15
FV	7.5 min	$17.4 \pm 0.7^{**}$	$74.4 \pm 8.7^{**}$	_	$1.65\pm0.05^{**}$
	15 min	$17.8\pm0.8^{**}$	$80.1 \pm 8.3^{**}$	_	$1.66\pm0.09^{**}$
	30 min	$16.6\pm0.6^{**}$	$70.2 \pm 5.8^{**}$	_	$1.74\pm0.08^*$
	60 min	$16.1\pm3.0^*$	$51.3 \pm 3.8^{**}$	45.6 ± 11.8	1.82 ± 0.06
	2 h	$14.3 \pm 0.6^*$	$30.8 \pm 3.9^{**}$	45.8 ± 12.2	1.96 ± 0.08
	4 h	14.2 ± 0.7	$23.3 \pm 1.4^{**}$	42.1 ± 2.1	1.93 ± 0.03
	6 h	$14.6 \pm 0.9^*$	$23.3 \pm 1.6^{**}$	42.9 ± 2.8	1.89 ± 0.09
	12 h	$16.2\pm2.0^{**}$	$24.4 \pm 2.8^{**}$	$45.3\pm2.1^*$	$1.13\pm0.18^{**}$
	24 h	$14.8 \pm 1.4^*$	22.7 ± 3.3	42.3 ± 3.6	1.91 ± 0.17
LMWHC	7.5 min	$13.2 \pm 0.4^{**}$	$29.7 \pm 2.2^{**}$	_	1.85 ± 0.07
	15 min	13.2 ± 0.7	$26.1 \pm 1.2^{**}$	_	1.92 ± 0.04
	30 min	13.4 ± 0.5	$24.0\pm2.0^{**}$	_	1.87 ± 0.08
	60 min	$13.2 \pm 0.3^*$	$21.7 \pm 0.5^*$	41.6 ± 1.7	$1.97 \pm 0.05^*$
	2 h	13.9 ± 0.7	22.6 ± 4.8	41.4 ± 3.9	$1.99 \pm 0.14^*$
	4 h	13.8 ± 0.8	$21.8 \pm 1.7^*$	43.2 ± 3.8	1.89 ± 0.05
	6 h	14.5 ± 1.0	$22.0 \pm 1.9^*$	40.2 ± 2.8	1.96 ± 0.06
	12 h	14.8 ± 1.4	$22.8 \pm 1.7^{**}$	40.0 ± 3.1	$1.28 \pm 0.15^{**}$
	24 h	14.0 ± 0.4	20.5 ± 2.2	41.3 ± 2.7	$2.04 \pm 0.16^*$

与对照组比较: *P<0.05 **P<0.01; 一: 超出仪器的测定上限

3.3 对凝血因子活性的影响

FV 对凝血酶 IIa、凝血因子 Xa 无明显抑制作用,对凝血因子 IXa 具有微弱抑制作用,且不依赖于 AT-III 或 HC-II,抑制率最高可达 46%。FV 对内源性激活复合物([IXa-VIIIa])具有显著的抑制作用,IC₅₀为 7.8 μg/mL,且不依赖 AT-III 或 HC-II;对外源性激活复合物([VII-TF])具有微弱抑制作用,当 AT-III 存在时,则抑制作用显著增强,IC₅₀为 11.6 μg/mL。另外,在 AT-III 存在下 LWMHC 对IIa、IXa、Xa 均具有显著的抑制作用,而对 IXa-VIIIa和 VII-TF 的抑制作用不依赖于 AT-III 或 HC-II。见图 1。

3.4 抗凝活性半衰期结果

参考临床诊断标准(测定值与正常值比较延长

超过 10 s 为异常,具有病理学意义)发现,FV 5、2.5、1.25 mg/kg 分别在 4、2、1 h 后对 APTT 无显著影响,提示上述 3 个剂量的药效作用持续时间分别在 4、2、1 h 以内。药效强度随时间的变化曲线均为一条直线,直线方程分别为 $Y=-0.005 \text{ 8 } X+2.622 (r=0.985)、Y=-0.008 \text{ 5 } X+2.359 (r=0.981)、Y=-0.0211 X+2.203 (r=0.931),线性关系较好,可见 FV 在 <math>1.25\sim5$ mg/kg 内抗凝效应均以一级动力学的方式消除。以公式 K=-2.303 b、 $t_{1/2}=0.693/K$ (b 为直线的斜率)计算得 FV 5、2.5、1.25 mg/kg 的抗凝衰减速率常数 K 分别为 0.013、0.019、0.048 min⁻¹,抗凝效应半衰期 $t_{1/2}$ 分别为 53.3、36.5、14.4 min。

4 讨论

抗凝剂是阻止血液凝固的物质, 可以作为预防

^{*}P < 0.05 **P < 0.01 vs control group; —: exceeded the upper limit of the instrument

Drugs & Clinic

· 2591 ·

因此对 FV 发挥抗凝活性的机制进行了研究, 探索其抑制凝血级联反应的具体位点。整个凝血过 程是由一系列凝血因子经级联激活引起的反应,即 凝血酶的激活途径,内源性激活系统是心血管内膜 受损,或血液流出体外通过与异常表面接触而激活 因子Ⅺ,再依次激活因子Ⅺ、Ⅸ,活化的因子Ⅸa 在 Ca²⁺与磷脂存在下与因子Ⅷ形成复合物, 使因子 X激活;外源性途径则由于组织损伤释放出因子Ⅲ, 从而激活因子VII,在 Ca²⁺存在下它能与血液中已活 化的因子Ⅷ形成复合物,就能使因子X激活。两者 都能启动一系列连锁反应,并在因子X处汇合,最 后都导致凝血酶原的激活及纤维蛋白的形成。本研 究利用发色底物法,测定了 Xa、IIa、IXa、内源性 激活复合物和外源性激活复合物的活性,并考虑了 AT-III 或 HC-II 的协同作用。结果显示 FV 对内源性 激活复合物的激活具有显著的抑制作用,且不依赖 AT-III 或 HC-II; 对外源性激活复合物激活的抑制作

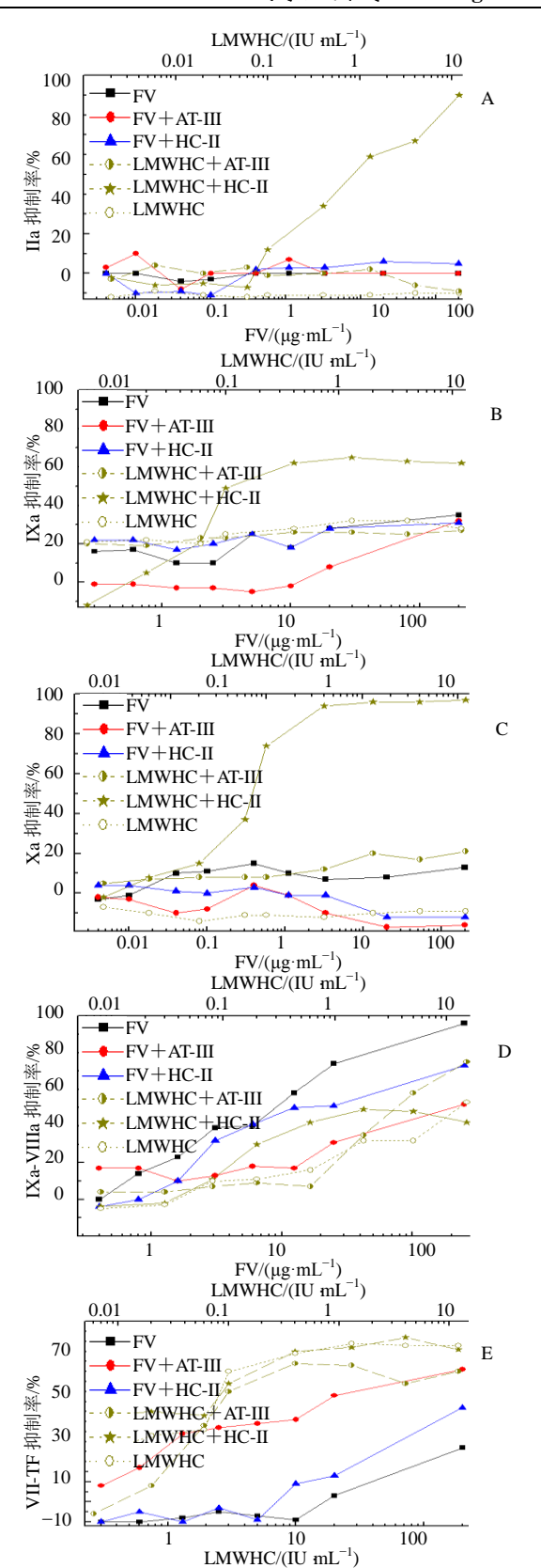


图 1 FV 对凝血因子 IIa(A)、IXa(B)、Xa(C)、IXa-VIIIa (D) 和 VII-TF(E) 活性的影响

Fig. 1 Effect of FV on activity of coagulation factor IIa (A), IXa (B), Xa (C), IXa-VIIIa (D), and VII-TF (E)

用则依赖于 AT-III。在本研究中,检测到低分子肝素依赖于 AT-III 显著抑制 IIa、IXa、Xa,与其作用机制基本吻合,而与低分子肝素明显不同,FV 对这 3 种凝血因子没有明显作用,提示 FV 的作用靶点明显减少,根据这一情况,一般可考虑 FV 引起的出血风险、副作用可能更小。

对于多数药物尽管血药浓度以一级动力学过程衰减,但作用强度的降低是零级的,属零级动力学,还有些药物的作用强度的降低是一级的,半对数作图时为一直线^[5]。FV 的抗凝活性衰减就以一级动力学加以描述,考虑全部药效学结果,推荐 $1.25 \, \text{mg/kg}$ 作为临床试验的起始剂量,该剂量下的半衰期 $t_{1/2}$ 约 $14 \, \text{min}$,抗凝活性下降快,因此应结合药代数据资料决定临床给药间隔,可能需采用静脉滴注的给药方式,同时发现 FV 对 PT 的影响较小,很快失去作用,对 TT 的影响持续时间与 APTT 基本保持一致,因此可以 APTT 作为药物监测的指标。

经研究,岩藻聚糖硫酸酯 FV 具有良好的抗凝活性,量-效关系、时-效关系明确,作用靶点清晰,出血风险等不良反应可能更小,作为一种新型抗凝药具有令人期待的开发前景。另外,本研究中

FV 采用静脉给药,主要参考了肝素的用药方式, 与低分子肝素可皮下注射给药比较,临床应用的顺 应性稍差,后续将对给药方式进行研究,期待能够 优化临床应用方式。

参考文献

- [1] 王雪迎. 一种海洋硫酸多糖降解酶降解岩藻聚糖硫酸酯和糖胺聚糖的研究 [D]. 青岛: 中国海洋大学, 2014.
- [2] 刘 颖,张 敏,吴茜茜,等.岩藻多糖的研究进展 [J]. 食品与发酵工业,2011,37(6):146-151.
- [3] Springer G F, Wurzel H A, Mcneal G M Jr, *et al.* Isolation of anticoagulant fractions from crude fucoidin [J]. *Proc Soc Exp Biol Med*, 1957, 94(2): 404-409.
- [4] 闫 晨, 邸志权, 朱振娜, 等. 岩藻聚糖硫酸酯 FV 对 大鼠的抗血栓作用研究 [J]. 现代药物与临床, 2019, 34(7): 1947-1951.
- [5] 吕 莉, 宋慧君, 韩国柱. 重组水蛭素在家兔体内生物 半衰期的测定 [J]. 中国实验诊断学, 2007, 11(4): 508-510
- [6] Gibaldi M, Perrier D. *Pharmacokinetics* [M]. 2nd ed. New York: Marcel Dekker, Inc. 1982: 221-270.
- [7] 刘 章, 姬胜利, 王凤山. 低分子肝素的药理作用和临床应用研究进展 [J]. 药物生物技术, 2014, 21(6): 573-578.